

# ITERÁLT HARMADFOKÚ KVANTUMINFORMATIKAI PROTOKOLLOK

**Portik Attila<sup>1,2</sup>, Kálmán Orsolya<sup>2</sup>, Kiss Tamás<sup>2</sup>**

<sup>1</sup>*Eötvös Loránd Tudományegyetem Természettudományi Kar,  
1117 Budapest, Pázmány Péter sétány 1/A*

<sup>2</sup>*Wigner Fizikai Kutatóközpont, 1121 Budapest, Konkoly-Thege M. út 29-33.*

DOI: <https://doi.org/10.14232/kvantumelektronika.9.28>

Egy olyan kvantuminformaticai protokollt vizsgálunk, amely egy összefonó unitér kapu, majd mérés és a mérés eredményén alapuló szelekció homogén kezdőállapotú qubit-sokaságon történő ismételt alkalmazásán alapul [1]. Az így létrejövő folyamat megfeleltethető egy komplex polinomok hányadosaként előálló komplex függvény iterált dinamikájának, ha a qubitet egy komplex számmal reprezentáljuk, ezért bizonyos kezdőfeltételek esetén kaotikus viselkedésre vezet [2]. Az ilyen nem-lineáris folyamatoknak számos kvantuminformaticai alkalmazása lehet, mint például a kvantumállapotok tisztítása [3] vagy a kvantumállapot-megkülönböztetés [4,5,6]. Egy másik, érzékenységükön alapuló gyakorlati felhasználásuk lehet a kvantum-áramkörök, kvantum-chipek tesztelése, a fellépő zaj és hibaforrások feltérképezése.

Az általunk tekintett sémában a homogén kezdőállapotú qubit-sokaságból (amelyben a qubitek ugyanolyan állapotúak és egymástól függetlenek) hármasával veszünk elemeket, amelyeket egy unitér művelettel összefonunk, majd a háromból két qubitet megmérünk. Ha a megmért qubiteket a kívánt állapotban találjuk, akkor a harmadik qubitet megtartjuk és rajta még egy további transzformációt végzünk (ellenkező esetben eldobjuk a harmadik qubitet is). A folyamatot az ilyen módon transzformált qubitekből képezett hármasokon tovább ismétljük, azaz iteráljuk.

Feltesszük tehát, hogy kezdetben van három független qubitünk, mindegyik ugyanabban a  $|\psi_0\rangle = N_z(|0\rangle + z|1\rangle)$  kezdeti állapotban, ahol  $z \in \hat{\mathbb{C}} = \mathbb{C} \cup \infty$ . Ekkor a teljes rendszer állapota:

$$|\Psi\rangle = |\psi_0\rangle \otimes |\psi_0\rangle \otimes |\psi_0\rangle = N_z^3 (|000\rangle + z|001\rangle + z|010\rangle + z^2|011\rangle + z|100\rangle + z^2|101\rangle + z^2|110\rangle + z^3|111\rangle).$$

A qubitek összefonását két controlled-NOT (CNOT) kapuval végezzük. A CNOT egy két-qubites művelet, amely a kontroll qubit állapotától függően változtatja meg a cél-qubit állapotát: ha a kontroll-qubit állapota  $|1\rangle$ , akkor a cél-qubit állapota ellenkezőre vált, ha a kontroll-qubit állapota  $|0\rangle$ , akkor a cél-qubit állapota nem változik meg. Közismert, hogy a CNOT operátor szorzatállapotokból összefonódottakat hoz létre. Ahhoz, hogy mindhárom qubitet összefonjuk, két CNOT műveletre van szükségünk. A mi esetünkben mindkét CNOT ugyanazt a qubitet használja kontrollként (legyen ez az első qubit), a cél qubitek pedig különböznek (egyik esetben a 2-es, a másikban a 3-as). Az említett két CNOT egymás utáni alkalmazásával létrejövő műveletet pedig úgy is felfoghatjuk, mint a CNOT transzformáció három qubitre általánosított verzióját, melynek a mátrix reprezentációja a következő-

képpen adható meg:

$$G_{\text{CNOT}} = \begin{pmatrix} 1 & 0 & 0 & 0 & 0 & 0 & 0 & 0 \\ 0 & 1 & 0 & 0 & 0 & 0 & 0 & 0 \\ 0 & 0 & 1 & 0 & 0 & 0 & 0 & 0 \\ 0 & 0 & 0 & 1 & 0 & 0 & 0 & 0 \\ 0 & 0 & 0 & 0 & 0 & 0 & 0 & 1 \\ 0 & 0 & 0 & 0 & 0 & 0 & 1 & 0 \\ 0 & 0 & 0 & 0 & 0 & 1 & 0 & 0 \\ 0 & 0 & 0 & 0 & 1 & 0 & 0 & 0 \end{pmatrix},$$

ahol a bázisvektorok sorrendjét  $\{|000\rangle, |001\rangle, |010\rangle, |011\rangle, |100\rangle, |101\rangle, |110\rangle, |111\rangle\}$ -nek vettük. A három qubit állapota ezen transzformáció hatására a következőképpen változik meg:

$$G_{\text{CNOT}}|\Psi\rangle = N_z^3(|000\rangle + z|001\rangle + z|010\rangle + z^2|011\rangle + z^3|100\rangle + z^2|101\rangle + z^2|110\rangle + z|111\rangle).$$

Az általunk vizsgált sémában von Neumann méréseket tekintünk a 2-es és 3-as qubiten és az 1-es qubitet csak abban az esetben tartjuk meg, ha mindkét mérés eredménye 0 volt (ez természetesen csak bizonyos valószínűséggel valósul meg a konkrét mérések során). Ekkor a megtartott qubit állapota:

$$|\psi'\rangle = N'_z(|0\rangle + z^3|1\rangle).$$

A CNOT transzformációk és a méréseknek megfelelő szelekció elvégzése a  $g: \hat{\mathbb{C}} \rightarrow \hat{\mathbb{C}}, g(z) = z^3$  komplex leképezésnek felel meg, amelynek ismételtetése egy diszkrét idejű determinisztikus nemlineáris dinamikára vezet, amely önmagában nem kifejezetten izgalmas. Ezért minden lépésben beiktatunk még egy egy-qubites unitér transzformációt, melyet a megtartott qubiteken hajtunk végre. Ezt az unitér transzformációt – az esetünkben érvényes szimmetria-tulajdonságokat is figyelembe véve – a következőképpen paraméterezhetjük

$$U(p) = \frac{1}{\sqrt{1+|p|^2}} \begin{pmatrix} 1 & p \\ -\bar{p} & 1 \end{pmatrix},$$

ahol  $p = \tan(\xi)e^{-i\varphi} \in \mathbb{C}$ , és  $\bar{p}$  a  $p$  komplex konjugáltja. Ennek a műveletnek a beiktatása után a megtartott qubit állapota

$$|\psi_1\rangle = N''_z \left( |0\rangle + \frac{z^3 + p}{1 - \bar{p}z^3} |1\rangle \right)$$

lesz, így az iterációs lépést a következő komplex racionális törtfüggvény reprezentálja

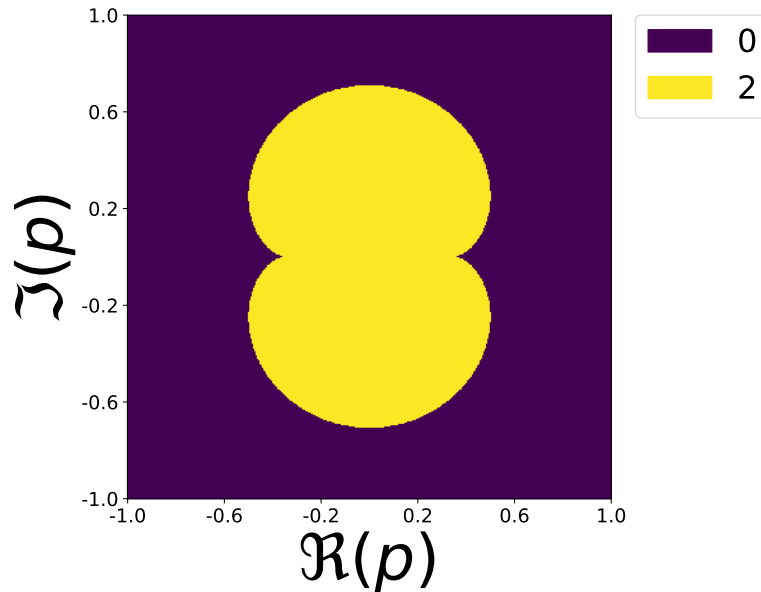
$$f_p(z) = \frac{z^3 + p}{1 - \bar{p}z^3}. \quad (1)$$

Ahhoz, hogy a kvantumrendszer viselkedését megismerjük elég ezt a komplex leképezést tanulmányoznunk. Az  $f_p(z)$  függvény iterációja meglehetősen összetett dinamikai viselkedést mutat, e dinamika néhány tulajdonságát mutatjuk itt be.

Az  $f_p(z)$  leképezésnek négy fixpontja van, melyek meghatározásához az  $f_p(z) = z$  egyenletet kell megoldani, ami a

$$\bar{p}z^4 + z^3 - z + p = 0$$

komplex együtthatós negyedfokú polinom-egyenletre vezet, amelynek négy komplex megoldása van általános  $p$  esetén. A függvény  $f'_p(z)$  deriváltjának a  $z_0$  fixpontban felvett értéke alapján a fixpont lehet semleges ( $|f'_p(z_0)| = 1$ ), taszító ( $|f'_p(z_0)| > 1$ ), vagy vonzó ( $|f'_p(z_0)| < 1$ ), esetleg szupervonzó



1. ábra. A  $p$  paramétertér origó körüli részének a szerkezete a  $p$  paraméterrel jellemzett  $f_p$  leképezés vonzó fixpontjainak száma szerint. Sárga szín jelöli azokat a paramétereket, amelyek esetén a leképezésnek két vonzó fixpontja van és lila azokat, amelyek esetén a leképezésnek nincs vonzó fixpontja. Az ábra elkészítéséhez  $2500 \times 2500$ -as felosztást használtunk.

( $|f'_p(z_0)| = 0$ ). Egy iterált racionális komplex polinomfüggvényekre vonatkozó tétel szerint maximum 4 vonzó fixpontot vagy fix ciklust találhatunk.

Megvizsgáltuk, hogy a  $p$  paraméter különböző értékeihez tartozó, (1) egyenletben megadott  $f_p$  leképezéseknek hány vonzó fixpontja van. Ehhez numerikus szimulációt végeztünk, amelynek során kijelöltünk egy véges tartományt a paramétertérből, ennek vettük egy alkalmas felosztását, az egyes  $p$  értékek esetén megkerestük a fixpontokat, majd kiértékeljük a függvény deriváltját az adott fixpontokban. Az így kapott eredményeket az 1. ábra mutatja. A paramétertér tükrörszimmetriát mutat mind a valós mind a képzetes tengelyre. A két vonzó fixponttal rendelkező leképezéseknek megfelelő tartományt körülöleli az, amely esetén a fixpontok közül egy sem vonzó (utóbbi térrészben természetesen létezhetnek hosszabb vonzó ciklusok). Megjegyezzük, hogy minden  $p$ -re vagy 0 vagy 2 fixpontot találtunk.

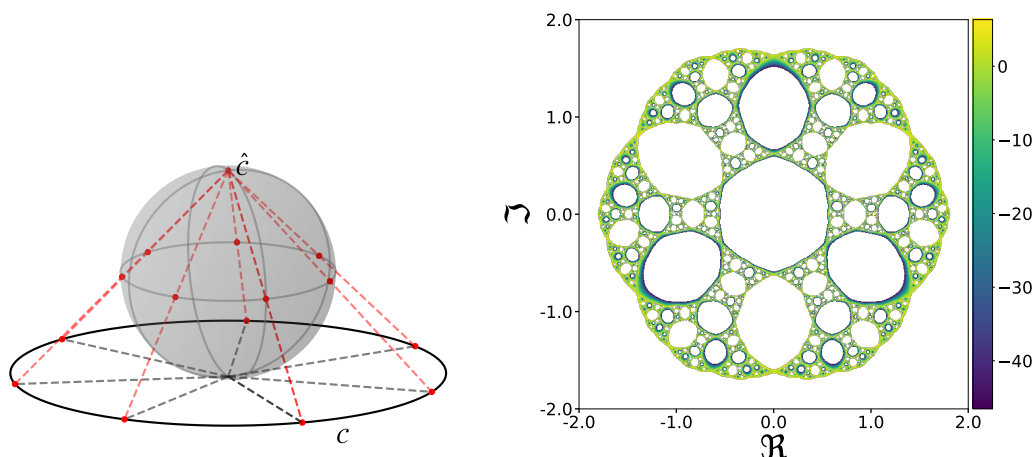
Egy adott  $p$  paraméterrel jellemzett  $f_p(z)$  függvény iterálása nyomán a  $z$  állapottéren két (egymást kiegészítő) halmazt különböztethetünk meg. Az ún. Fatou-halmaz azon pontokat tartalmazza, melyek közül a kezdetben egymáshoz közeli több iteráció után is közel maradnak és konvergálnak a leképezés valamely vonzó ciklusához. Ezzel szemben az ún. Julia-halmaz elemei olyan pontok, melyek nem tartanak egyik vonzó ciklushoz sem, és a kezdőállapot tetszőlegesen kicsiny perturbációja is drasztikusan különböző állapotra vezethet az iterációs lépések során. A Julia-halmaz tehát az instabil pontokat tartalmazza, melyek kaotikusan viselkednek. A kaotikus viselkedést jellemezhetjük az ún. Ljapunov-exponenssel, amely a kezdetben közeli fázistérbeli pontok egymástól való exponenciális eltávolodását írja le. Ha az értéke pozitív, az a rendszerbeli valódi kaotikus viselkedés megjelenését jelenti.

A  $z$  pontbeli Ljapunov-exponenst a következő kifejezéssel definiálhatjuk [7]:

$$L(z) = \lim_{n \rightarrow \infty} \frac{1}{n} \ln (|f'(z)|_R \cdot |f'(f(z))|_R \cdot |f'(f^{\circ 2}(z))|_R \cdots |f'(f^{\circ n-1}(z))|_R) \\ = \lim_{n \rightarrow \infty} \frac{1}{n} \ln \left( \prod_{k=0}^{n-1} |f'(f^{\circ k}(z))| \right). \quad (2)$$

Itt  $f^{on}(z)$  az  $f(z)$  függvény  $n$ -edik iteráltját,  $|\cdot|_R$  pedig a Riemann-gömbön mért távolságot jelöli a Riemann-gömb déli pólusától, mely adott  $z$ -re  $|z|_R = 2|z|/\sqrt{|z|^2 + 1}$ .

A Julia-halmazon megjelenő káoszt és a pozitív Ljapunov-exponens megjelenését úgy vizsgáltuk, hogy az adott  $p$  paraméterrel jellemzett  $f_p(z)$  leképezést numerikusan iterálva közelítettük a (2) egyenletet. Az eredményt a  $p = i$  paraméternek megfelelő esetben a 2. ábra mutatja, melyen megfigyelhető, hogy az exponens egy fraktál alakzat mentén vesz fel pozitív értéket, ez a halmaz a leképezés Julia-halmaza. Ellenőrizhető, hogy azokban a tartományokban, ahol a Ljapunov-exponens negatív, a kezdőállapotok két 2-hosszú stabil vonzó ciklushoz tartanak (Fatou-halmaz).



2. ábra. (Bal oldal) A  $\mathbb{C}$  és  $\hat{\mathbb{C}}$  közötti megfeleltetés a komplex számgömb és az azt egy pontban érintő komplex számsík közötti *sztereografikus leképezéssel* adható meg. A sztereografikus leképezés során a gömb síkkal való érintkezési pontjával átellenes pontjából induló félegyenesek által a síkból kimetszett  $z \in \mathbb{C}$  pontot és a gömbből kimetszett  $z' \in \hat{\mathbb{C}}$  megfeleltetjük egymásnak. Ekkor a 0 és a  $\infty$  pontok rendre az érintkezési pontnak és az azzal átellenes pontnak felelnek meg. (Jobb oldal) A  $p = i$  paraméterhez tartozó leképezés fázistere a numerikusan közelített Ljapunov-exponens értéke szerint kiszínezve. A vonzó ciklusok vonzási tartományai nincsenek kiszínezve.

Összefoglalva, az iterált harmadfokú nemlineáris protokoll bemutatott tulajdonságai alapvetően hasonlítanak a másodfokú esethez (ott a  $p = 1$  paraméterértéket véve), azonban a 2. ábrán bemutatott fraktál szimmetriája megváltozott: négyfogásos helyett hatfogásossá vált. A teljes  $p$  paramétertér feltérképezésével várhatóan még jobban megérthetjük majd a harmadfokú dinamika sajátosságait és a másodfokútól eltérő tulajdonságait. Ez kulcsfontosságú lehet a protokoll alkalmazása szempontjából.

### Köszönetnyilvánítás

A kutatást az Innovációs és Technológiai Minisztérium és a Nemzeti Kutatási, Fejlesztési és Innovációs Hivatal támogatta a Kvantuminformatika Nemzeti Laboratórium, a K124351 sz. és a 2017-1.2.1-NKP-2017-00001 sz. projekt keretében.

### Irodalom

- [1] T. Kiss, I. Jex, G. Alber and S. Vymětal, Phys. Rev. A **74**, 040301(R) (2006).  
<https://doi.org/10.1103/PhysRevA.74.040301>
- [2] A. Gilyén, T. Kiss and I. Jex, Sci. Rep. **6**, 20076 (2016).  
<https://doi.org/10.1038/srep20076>

- [3] T. Kiss, S. Vymětal, L. D. Tóth, A. Gábris, I. Jex and G. Alber, Phys. Rev. Lett. **107**, 100501 (2011).  
<https://doi.org/10.1103/PhysRevLett.107.100501>
- [4] J. M. Torres, J. Z. Bernád, G. Alber, O. Kálmán and T. Kiss, Phys. Rev. A **95**, 023828 (2017).  
<https://doi.org/10.1103/PhysRevA.95.023828>
- [5] O. Kálmán and T. Kiss, Phys. Rev. A **97**, 032125 (2018).  
<https://doi.org/10.1103/PhysRevA.97.032125>
- [6] G. Zhu O. Kálmán, K. Wang, L. Xiao, D. Qu, X. Zhan, Z. Bian, T. Kiss, and P. Xue, Phys. Rev. A **100**, 052307 (2019).  
<https://doi.org/10.1103/PhysRevA.100.052307>
- [7] A. Gilyén, Egy qubitese káosz és kapcsolata a komplex dinamikus rendszerekhez (TDK dolgozat, 2013).